

Лабораторная работа №2

Радиоактивность, альфа-распад, взаимодействие альфа-частиц с веществом

Целью лабораторной работы является изучение α -радиоактивности, механизма образования α -частиц и их взаимодействия с веществом. Для этого

- *измеряются энергетические спектры α -частиц от нескольких α -источников,*
- *измеряются потери энергии α -частиц в воздухе.*

1. Введение
2. Описание установки
3. Порядок выполнения работы
4. α -распад
5. Радиоактивные семейства
6. Закон радиоактивного распада
7. Взаимодействие α -частиц с веществом
8. Полупроводниковые детекторы
9. Контрольные вопросы

1. Введение

α -распад — распад атомных ядер, сопровождающийся испусканием α -частиц (ядер ${}^4\text{He}$).

Часть изотопов могут самопроизвольно испускать α -частицы (испытывать α -распад), т. е. являются α -радиоактивными. Подавляющее большинство α -радиоактивных изотопов (более 200) расположено в периодической системе в области тяжелых ядер ($Z > 83$)¹. Это обусловлено тем, что α -распад связан с кулоновским отталкиванием, которое растет по мере увеличения размеров ядер быстрее (как Z^2), чем ядерные силы притяжения, которые растут линейно с ростом массового числа A .

Ядро α -радиоактивно, если выполнено условие, являющееся следствием закона сохранения энергии

$$M(A, Z) > M(A - 4, Z - 2) + M_\alpha, \quad (1)$$

где $M(A, Z)$ и $M(A - 4, Z - 2)$ — массы исходного и конечного ядер соответственно, M_α — масса α -частицы. При этом в результате распада конечное ядро и α -частица приобретают суммарную кинетическую энергию

$$Q_\alpha = (M(A, Z) - M(A - 4, Z - 2) - M_\alpha)c^2, \quad (2)$$

¹Известно также около 20 α -радиоактивных изотопов среди редкоземельных элементов, кроме того, α -радиоактивность характерна для ядер, находящихся вблизи границы протонной стабильности.

которая называется энергией α -распада. Ядра могут испытывать α -распад также на возбужденные состояния конечных ядер и из возбужденных состояний начальных ядер. Поэтому соотношение (2) для энергии α -распада можно обобщить следующим образом:

$$Q = (M(A, Z) - M(A - 4, Z - 2) - M_\alpha)c^2 + E_i^{\text{воз}} + E_f^{\text{воз}}, \quad (3)$$

где $E_i^{\text{воз}}$ и $E_f^{\text{воз}}$ — энергии возбуждения начального и конечного ядер соответственно. α -частицы, возникающие в результате распада возбужденных состояний ядер, получили название длиннопробежных. Для большинства ядер с $A > 190$ и для многих ядер с $150 < A < 190$ условие (1) выполняется. Однако, далеко не все они считаются α -радиоактивными. Дело в том, что современные экспериментальные возможности не позволяют обнаружить α -радиоактивность для нуклидов с периодом полураспада большим, чем 10^{16} лет. Кроме того, часть «потенциально» α -радиоактивных ядер испытывают также β -распад, который конкурирует с α -распадом.

Основную часть энергии α -распада (около 98%) уносят α -частицы. Используя законы сохранения энергии и импульса, для кинетической энергии α -частицы T_α можно получить соотношение

$$E_\alpha = \frac{M(A - 4, Z - 2)}{m_\alpha + M(A - 4, Z - 2)} Q_\alpha. \quad (4)$$

Периоды полураспада известных α -радиоактивных нуклидов варьируются от 0.298 мкс для ^{212}Po до $(2-5) \cdot 10^{15}$ лет для ^{142}Ce , ^{144}Ne , ^{174}Hf . Энергия α -частиц, испускаемых тяжелыми ядрами из основных состояний, составляет 4–9 МэВ, ядрами редкоземельных элементов — 2–4.5 МэВ.

Важным свойством α -распада является то, что при небольшом изменении энергии α -частиц периоды полураспада изменяются на много порядков. Так у ^{232}Th $Q_\alpha = 4.08$ МэВ, $T_{1/2} = 1.41 \cdot 10^{10}$ лет, а у ^{218}Th $Q_\alpha = 9.85$ МэВ, $T_{1/2} = 10$ мкс. Изменению энергии в 2 раза соответствует изменение периода полураспада на 24 порядка.

2. Описание установки

Блок-схема установки, на которой выполняется работа показана на рис. 1. Установка состоит из камеры с тремя α -источниками, детектора и регистрирующей электронной аппаратуры. Источники расположены на вращающемся диске, который имеет три фиксированных положения поворота и может перемещаться в камере относительно детектора.

В режиме измерения крышка камеры должна быть закрыта, чтобы на детектор не попадал свет. Электронная регистрирующая аппаратура состоит из зарядочувствительного предусилителя, усилителя. Импульсы с усилителя поступают в аналого-цифровой преобразователь (АЦП), который служит интерфейсом ЭВМ.

Зарядочувствительный предусилитель служит для преобразования информации о заряде, образовавшемся в чувствительной области детектора в амплитуду импульса.

Усилитель усиливает и формирует сигналы для улучшения соотношения сигнал–шум.

Аналого-цифровой преобразователь (АЦП) служит для измерения амплитуд импульсов, т.е. для перевода аналоговой информации в цифровую. Он генерирует число линейно зависимое от амплитуды входного сигнала. Событие, обработанное АЦП фиксируется в соответствующей определенному диапазону амплитуд ячейке памяти (канале). Каналы

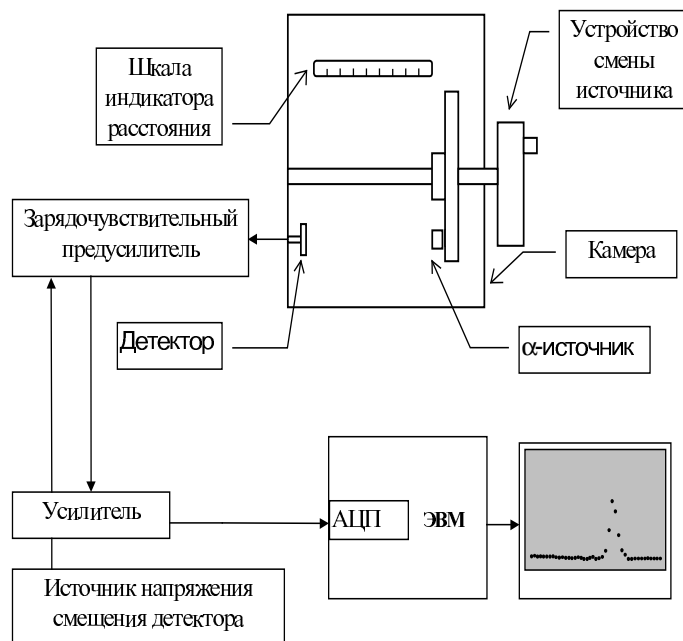


Рис. 1: Блок-схема установки.

последовательно нумеруются так, что большим амплитудам соответствуют большие номера каналов. По мере набора статистики в памяти ЭВМ формируется распределение номер канала — количество событий, которое после проведения измерений можно наблюдать на мониторе или распечатать.

Источник напряжения смещения детектора служит для создания электрического поля, под воздействием которого собираются заряды, образовавшиеся в детекторе при ионизации производимой в чувствительном слое регистрируемой частицей.

3. Порядок выполнения работы

Упражнение 1. Измерение энергетических спектров α -частиц источников. Идентификация изотопов по энергии α -частиц.

Измерения энергетических спектров альфа-частиц проводятся при минимальном расстоянии между детектором и источником α -частиц. Измеренные амплитудные спектры необходимо преобразовать в энергетические. Для этого нужно провести энергетическую градуировку спектрометра, т. е. поставить в соответствие энергии альфа-частиц номер канала. Положение пика можно характеризовать номером канала n с максимальной статистикой N_{\max} , либо $n_{\text{ср}}$ которое определяется формулой

$$n_{\text{ср}} = \frac{\sum_i n_i N_i}{\sum_i N_i}, \quad (5)$$

где n_i — номер i -го канала, N_i — количество, зарегистрированных в этом канале событий. Суммирование проводится по каналам пика для которых $N_i > N_{\max}/2$.

Для градуировки спектрометра вначале измеряется спектр α -частиц, испускаемых источником ^{226}Ra , который содержит этот изотоп с продуктами его распада. В спектре этого источника наблюдается пять групп α -частиц с энергиями 4.782, 5.305, 5.490, 6.002 и

7.687 МэВ. Затем измеряются спектры двух других источников, для которых необходимо определить энергии α -частиц. Постройте спектры α -частиц. Рекомендованная форма графического представления результатов показана на рис. 2.

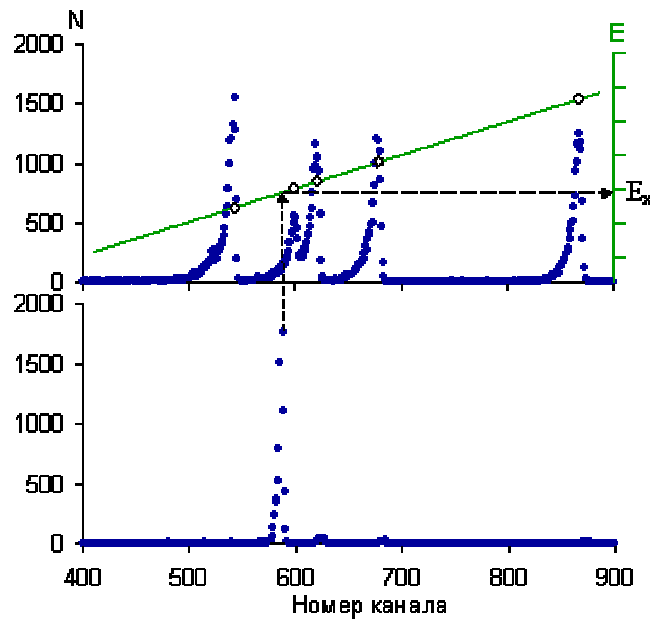


Рис. 2: На верхней части рисунка показан спектр альфа-частиц ^{226}Ra и продуктов его распада, на нижней — альфа-спектр неизвестного источника

На спектре видны пики альфа-распадов, имеющие форму близкую к гауссовой. Интенсивности альфа-переходов пропорциональны площадям соответствующих пиков. Собственная ширина альфа-линии Γ , имеющее распределение Брейта–Вигнера, мала ($\Gamma \ll 1$ эВ) и определяется принципом неопределенности. Таким образом альфа-частицы, соответствующие конкретному переходу имеют практически одинаковые энергии. Однако, пролетая в веществе (в данном случае основной вклад вносит воздушный промежуток между источником и детектором), из-за энергетического страгглинга их энергетическое распределение размывается и становится близким к гауссовскому распределению. Вклад в уширение пиков вносят также шумы детектора и электронной аппаратуры. Некоторая асимметрия экспериментальных распределений — затаянная низкоэнергетическая часть — связана с тем, что из-за конечного телесного угла коллиматора (рис. 3) часть альфа-частиц попадают в детектор под углом к линии кратчайшего расстояния между источником и детектором, проходят больший путь и, следовательно, теряют большую энергию. Кроме того, альфа-частицы могут потерять часть своей энергии на краях коллиматора.

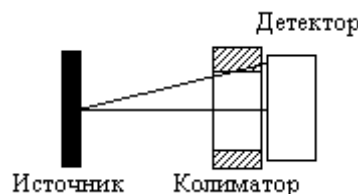


Рис. 3: Геометрия источника, коллиматора и детектора.

Идентифицируйте пики на альфа-спектре источника ^{226}Ra . Найдите соответствие между номерами канала и энергиями α -частиц и постройте график зависимости энергии

от номера канала (градуировочная кривая). С помощью градуировочной кривой, определите энергии неизвестных источников, а по этим энергиям, используя данные табл. 1, идентифицируйте соответствующие изотопы. По нескольким пикам определите разрешение установки (полная ширина на половине высоты пика). Разрешение необходимо указать в энергетических единицах.

Упражнение 2. *Определение времени изготовления источника ^{226}Ra .*

Схема распада ^{226}Ra и его продуктов показана на рис. 4. В спектре альфа-частиц свежеприготовленного препарата ^{226}Ra будет наблюдаться только альфа-пик распада радия с энергией 4,869 МэВ. По прошествии некоторого времени источник будет содержать наряду с ^{226}Ra продукты его распада. Для того, чтобы оценить время изготовления источника необходимо прояснить следующие вопросы.

- Можете ли Вы обнаружить изменение интенсивности распада ^{226}Ra ?
- ^{226}Ra распадается в ^{222}Rn . Количество радона увеличивается, но он одновременно и распадается в ^{218}Po . Какое уравнение можно написать для интенсивности линии радона?
- Какое приближение при этом можно использовать?
- Как будут соотноситься интенсивности ^{226}Ra и ^{222}Rn через время равное периоду полураспада ^{222}Rn ?
- Какая максимальная интенсивность ^{222}Rn может быть достигнута?
- Когда это произойдет?
- Что можно сказать о динамике интенсивностей распада ^{218}Po и ^{214}Po ?
- Когда интенсивности этих линий достигнут максимума?
- Как будет меняться их интенсивность после достижения максимума?
- Какое уравнение можно записать для интенсивности альфа-пика ^{210}Po ?
- Все ли продукты распада ^{226}Ra находятся в вековом равновесии?

Исходя из результатов анализа оцените время изготовления источника.

Упражнение 3. *Определение зависимости пробега α -частиц в воздухе от их энергии.*

Установить источник ^{226}Ra . Приблизить α -источник к детектору на минимальное расстояние, которое соответствует “0” на шкале индикатора расстояния². Начиная с этого положения необходимо измерить зависимость интенсивности α -линий от расстояния. Статистическая погрешность измерений не должна превышать 3%.

Результаты представить в виде графика зависимости интенсивностей α -линий от расстояния между детектором и α -источником. Определить пробеги в воздухе для каждой группы α -частиц R_α . Построить зависимость пробега α -частиц от их энергии. Определить коэффициент k в выражении

$$R_\alpha(\text{см}) = kE_\alpha^{3/2}(\text{МэВ}). \quad (6)$$

²Нужно иметь в виду, что “0” соответствует определенному расстоянию между источником и детектором.

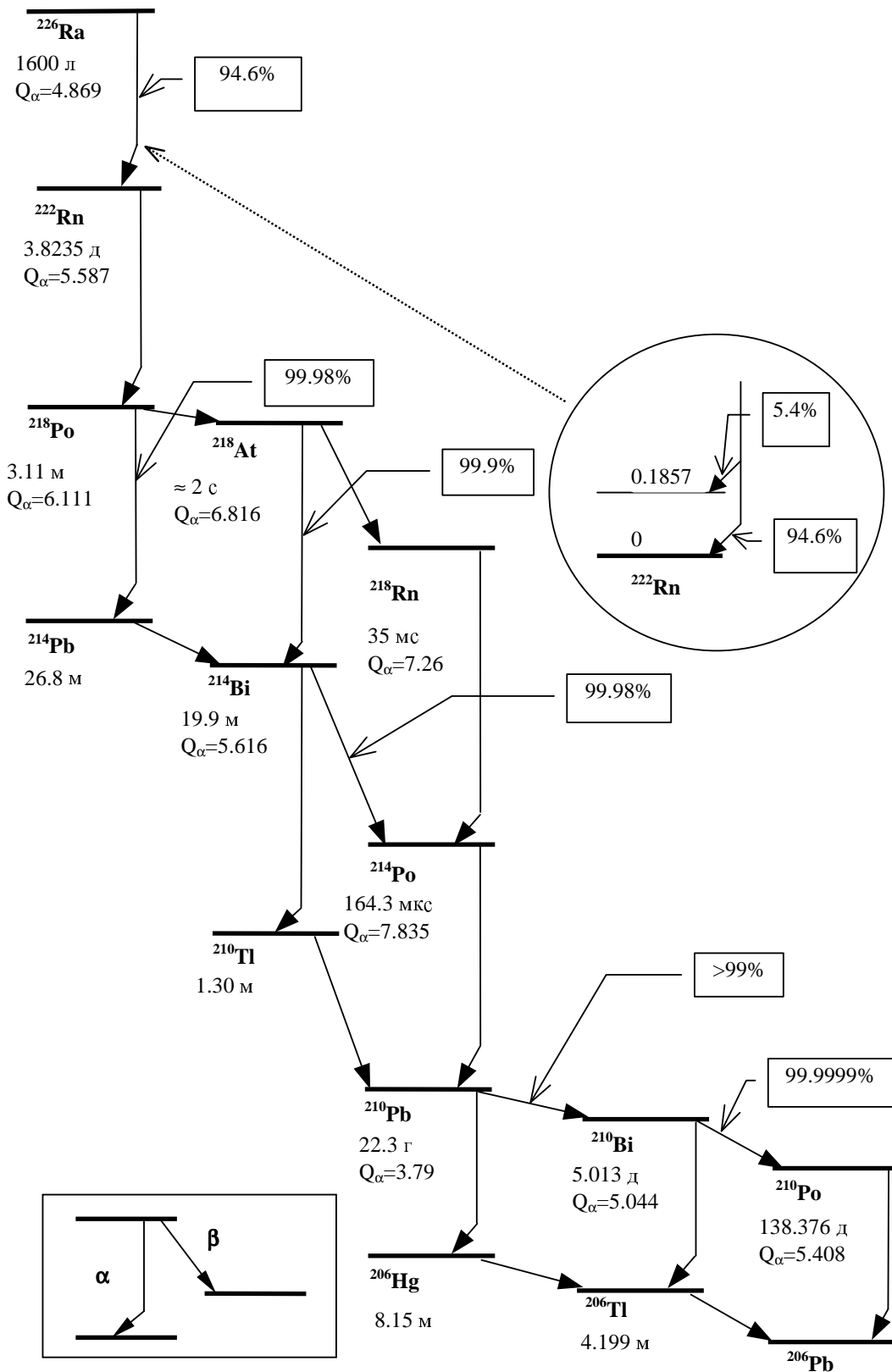


Рис. 4: Упрощенная цепочка распада радиоактивного ряда ($A = 4n + 2$), начиная с ^{226}Ra . Энергии α -распада Q_α даны в МэВ. На рисунке приведены также периоды полураспада образующихся радиоактивных изотопов и вероятности основных каналов распада.

Оценить точность его определения и сравните полученный результат с эмпирической формулой. Построить зависимость полной ширины пиков на половине высоты от толщины воздушного слоя между α -источником и детектором.

При сдаче необходимо представить:

1. Графики измеренных спектров с нанесенными на них статистическими погрешностями.
2. Градуировочную кривую.
3. Энергии α -линий и соотношение их к конкретным изотопам, которые их испускают.
4. Оценку энергетического разрешения установки.
5. Оценку времени изготовления источника ^{226}Ra .
6. График зависимости интенсивностей пиков α -частиц от толщины слоя воздуха между α -источником и детектором.
7. Результаты определения коэффициента k в эмпирической зависимости (6).
8. График зависимости полной ширины пика на половине высоты от толщины воздушного слоя α -источником и детектором.

4. α -распад

Для чётно-чётных изотопов элемента зависимость периода полураспада от энергии α -распада хорошо описывается эмпирическим законом Гейгера–Неттола

$$\lg T_{1/2} = A + B/(Q_\alpha)^{1/2}, \quad (7)$$

где A и B — константы, слабо зависящие от Z . С учетом заряда дочернего ядра Z связь между периодом полураспада $T_{1/2}$ и энергией α -распада Q_α может быть представлено в виде (В.А. Brown, Phys. Rev. C46, 811 (1992))

$$\lg T_{1/2} = 9.54 \frac{Z^{0.6}}{\sqrt{Q_\alpha}} - 51.37, \quad (8)$$

где $T_{1/2}$ в сек, Q_α в МэВ. На рис. 5 показаны экспериментальные значения периодов полураспада для 119 α -радиоактивных чётно-чётных ядер (Z от 74 до 106) и их описание с помощью соотношения (8).

Для нечётно-чётных, чётно-нечётных и нечётно-нечётных ядер общая тенденция сохраняется, но их периоды полураспада в 2–1000 раз больше, чем для чётно-чётных ядер с данными Z и Q_α .

Основные особенности α -распада, в частности, сильную зависимость вероятности α -распада от энергии α -частиц удалось в 1928 г. объяснить Г. Гамову. Он показал, что вероятность α -распада в основном определяется вероятностью прохождения α -частицы сквозь потенциальный барьер.

Рассмотрим модель α -распада Гамова. Предполагается, что α -частица движется в сферической области радиуса R , где R — радиус ядра. Т.е. в этой модели предполагается, что α -частица постоянно существует в ядре.

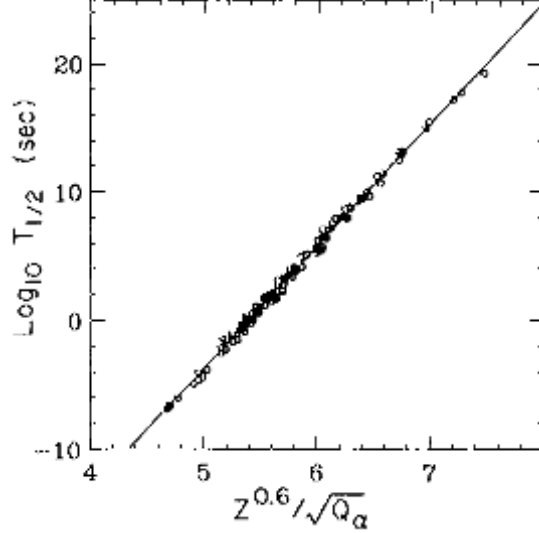


Рис. 5: Экспериментальные периоды полураспада и их описание с помощью соотношения (8).

Вероятность α -распада λ равна произведению вероятности найти α -частицу на границе ядра f на вероятность ее прохождения сквозь потенциальный барьер D (прозрачность барьера)

$$\lambda = fD = \ln 2/T_{1/2}. \quad (9)$$

Величину f можно отождествить с числом соударений в единицу времени, которые испытывает α -частица о внутренние границы барьера. Тогда

$$f = \frac{v}{2R} \cong \frac{v}{2r_0 A^{1/3}} \cong \frac{c}{2r_0 A^{1/3}} \left[\frac{2(T_\alpha + V_0)}{\mu_\alpha c^2} \right]^{1/2}, \quad (10)$$

где v — скорость α -частицы внутри ядра, μ_α — приведенная масса α -частицы, V_0 — глубина ядерного потенциала,

$$\mu_\alpha = \frac{m_\alpha M(A-4, Z-2)}{m_\alpha + M(A-4, Z-2)}, \quad (11)$$

T_α — энергия α -частицы — определяется соотношением (4). Подставив в выражение (9) $V_0 = 35$ МэВ, $T_\alpha = 5$ МэВ, получим для ядер с $A \cong 200$, $f \cong 10^{21} \text{ с}^{-1}$.

На рис. 6 показана зависимость потенциальной энергии взаимодействия между α -частицей и конечным ядром от расстояния между их центрами. Кулоновский потенциал обрезается на расстоянии R , которое приблизительно равно радиусу остаточного ядра. Высота кулоновского барьера B_k определяется соотношением

$$B_k = \frac{zZe^2}{R} \cong \frac{zZe^2}{r_0 A^{1/3}} \cong \frac{2Z}{A^{1/3}} \text{ МэВ}. \quad (12)$$

Здесь Z и z — заряды (в единицах заряда электрона e) остаточного ядра и α -частицы соответственно, $r_0 \approx 1.3$ Фм. Например, для ^{238}U $B_k \cong 30$ МэВ.

Можно выделить три области.

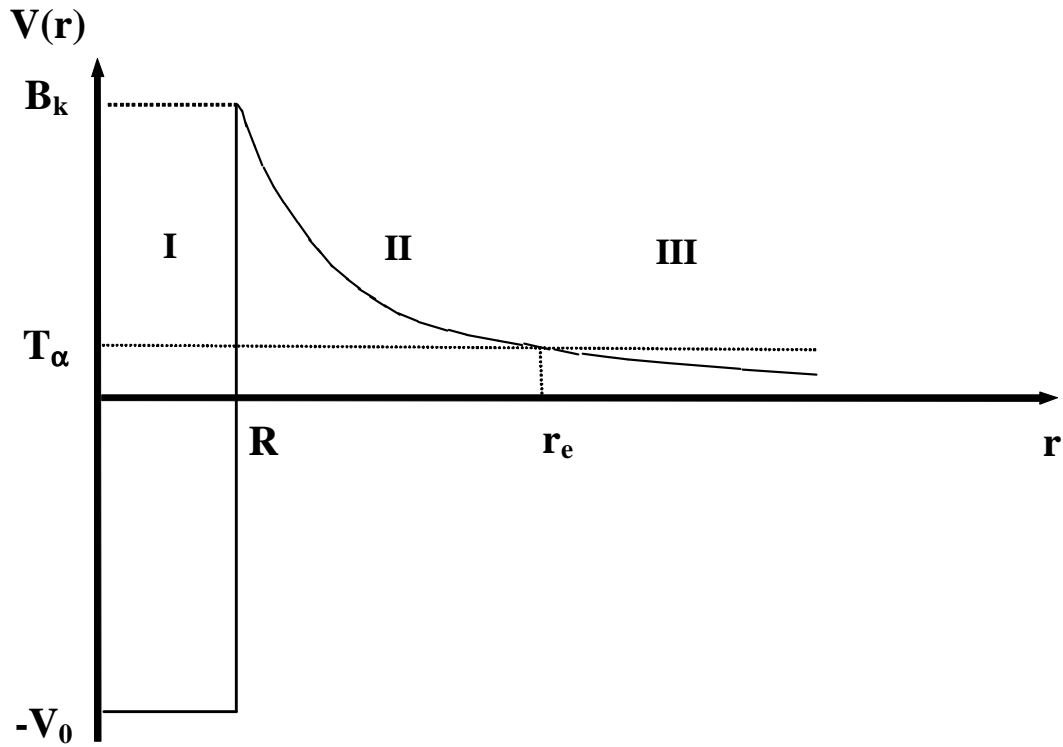


Рис. 6: Зависимость потенциальной энергии взаимодействия между α -частицей и конечным ядром от расстояния между их центрами

1. $r < R$ — сферическая потенциальная яма глубиной V_0 . В классической механике α -частица с кинетической энергией $T_\alpha + V_0$ может двигаться в этой области, но не способна ее покинуть. В этой области существенно сильное взаимодействие между α -частицей и остаточным ядром.
2. $R < r < r_e$ — область потенциального барьера, в которой потенциальная энергия больше энергии α -частицы, т.е. это область, запрещенная для классической частицы.
3. $r > r_e$ — область вне потенциального барьера.

В квантовой механике возможно прохождение α -частицы сквозь барьер (туннелирование)³. Вероятность прохождения частицы сквозь барьер D (коэффициент прозрачности барьера) определяется соотношением

$$D = \exp \left[-2\sqrt{\frac{2\mu_\alpha}{\hbar^2}} \int_R^{r_e} (V(r) - Q_\alpha)^{1/2} dr \right]. \quad (13)$$

Рассчитанные по формулам (9), (10) и (13) периоды полураспада правильно передают важнейшую закономерность α -распада — сильную зависимость периода полураспада $T_{1/2}$

³ Аналогично влияние кулоновского барьера и в случае ядерной реакции, когда α -частица подлетает к ядру. Если ее энергия меньше высоты кулоновского барьера, она, скорее всего, рассеется кулоновским полем ядра, не проникнув в него и не вызвав ядерной реакции. Вероятность подбарьерных реакций очень мала.

от энергии α -частиц T_α (энергии α -распада Q_α)⁴. При изменении периодов полураспада более чем на 20 порядков отличия экспериментальных значений от расчетных всего 1–2 порядка. Конечно, такие расхождения все же довольно велики. Где их источник и как надо усовершенствовать теорию, чтобы эти расхождения с экспериментом уменьшить?

Какие факторы должны быть дополнительно учтены?

1. Приведенные выше формулы описывают эмиссию α -частиц с нулевым орбитальным моментом l . Однако возможен распад и с ненулевым орбитальным моментом, более того, в ряде случаев распад с $l = 0$ запрещен законами сохранения. В этом случае к кулоновскому потенциалу $V_k(r)$ добавляется центробежный потенциал $V_\pi(r)$:

$$V(r) = V_k(r) + V_\pi(r), \quad (14)$$

$$V_\pi(r) = \frac{\hbar^2 l(l+1)}{2\mu_\alpha r^2}. \quad (15)$$

Хотя высота центробежного барьера для тяжелых ядер при $l = 8$ составляет всего около 10% от высоты кулоновского барьера, и центробежный потенциал спадает быстрее, чем кулоновский, эффект вполне ощутим и для больших l может приводить к подавлению α -распада более, чем на 2 порядка.

2. Результаты расчетов прозрачности барьера чувствительны к средним радиусам ядер R . Так, изменение R всего на 4% приводит к изменению периода полураспада $T_{1/2}$ в 5 раз. Ядра с $A \geq 230$, как правило, сильно деформированы, что приводит к тому, что α -частицы преимущественно вылетают вдоль большой оси эллипсоида, а средняя вероятность вылета отличается от таковой для сферического ядра. Сильную зависимость периода полураспада от радиуса ядра можно использовать, определяя радиусы ядер по экспериментальным значениям периодов полураспада.
3. В рассматриваемой модели никак не учитывалась структура состояний начального и конечного ядер и тесно связанная с этим проблема образования α -частицы в ядре, вероятность которой полагалась равной 1. Для четно-четных ядер это приближение довольно хорошо описывает эксперимент. Однако, если перестройка структуры исходных ядер в конечные заметно затруднена, то необходимые для учета этих эффектов модификации предэкспоненциального множителя f , могут приводить к изменению расчетных значений приблизительно на два порядка.

⁴Для грубой оценки зависимости периодов полураспада от энергии α -распада заменим кулоновский потенциал на прямоугольный. Его высоту, отсчитываемую от энергии $Q_\alpha \approx E_\alpha$ положим равной $(B_k - Q_\alpha)/2$, а ширину — равной $(r_e - R)/2$. Прозрачность барьера тогда можно записать в виде

$$D \approx \exp\left(-\frac{\sqrt{m_\alpha c^2(B_k - Q_\alpha)}}{\hbar c}(r_e - R)\right).$$

Для $Z \approx 90$ $R \approx 7.6$ Фм, $B_k = 34$ МэВ, $f = 3 \cdot 10^{21} \text{ с}^{-1}$ (см. (10)), тогда для $Q_\alpha = 6$ МэВ получим $r_e \approx 43$ Фм, постоянную распада $\lambda \approx 10^{-4} \text{ с}^{-1}$ ($T_{1/2} \approx 10^4$ с); для $Q_\alpha = 5$ МэВ $\lambda \approx 10^{-11} \text{ с}^{-1}$ ($T_{1/2} \approx 10^3$ лет); для $Q_\alpha = 4.3$ МэВ $T_{1/2} \approx 10^9$ лет.

Характеристики некоторых α -активных ядер

Ядро	Энергия α -частиц, МэВ	Доля данной ветви распада	Период полураспада
^{238}U	4.15	23%	$4.468 \cdot 10^9$ л
^{238}U	4.2	77%	$4.468 \cdot 10^9$ л
^{226}Ra	4.6	5.4%	1600 л
^{226}Ra	4.78	94.6%	1600 л
^{233}U	4.78	14.6%	$1.592 \cdot 10^5$ л
^{233}U	4.82	83%	$1.592 \cdot 10^5$ л
^{239}Pu	5.1	73%	24119 л
^{239}Pu	5.14	15.1%	24119 л
^{239}Pu	5.16	11.5%	24119 л
^{210}Po	5.3	$\sim 100\%$	138.376 д
^{241}Am	5.39	1.33%	432.2 л
^{241}Am	5.45	12.7%	432.2 л
^{238}Pu	5.46	28%	87.74 л
^{241}Am	5.49	86%	432.2 л
^{238}Pu	5.5	72%	87.74 л
^{218}Po	6.0	$> 99\%$	3.11 м
^{222}Rn	6.56	$> 99\%$	3.8235 д
^{214}Po	7.62	$> 99\%$	164.3 мкс

В таблице 1 показаны энергии наиболее интенсивных α -переходов (см. для примера рис. 7).

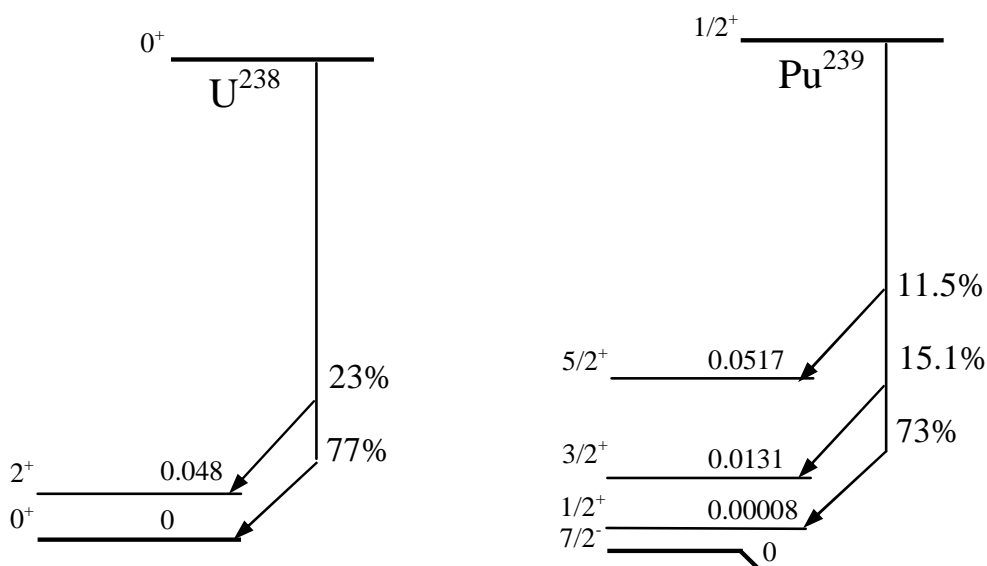


Рис. 7: Схемы α -распада изотопов ^{238}U , ^{239}Pu .

5. Радиоактивные семейства

В естественных условиях на Земле существует около 40 α -радиоактивных изотопа, которые объединены в три радиоактивных ряда (см. рис. 8–11), которые начинаются с ^{236}U ($A = 4n$), ^{238}U ($A = 4n + 2$), ^{235}U ($A = 4n + 3$). К ним можно отнести с некоторой долей условности, так как изотопы этого ряда успели распасться за время существования Земли, четвертый ряд, который начинается с ^{237}Np ($A = 4n + 1$). После ряда последовательных распадов образуются стабильные ядра с близким или равным магическим числом количеством протонов и нейтронов ($Z = 82$, $N = 126$) соответственно ^{208}Pb , ^{206}Pb , ^{207}Pb , ^{209}Bi . α -распады перемежаются β -распадами, так как при α -распадах конечные ядра оказываются все дальше от линии β -стабильности, т. е. перегружены нейтронами.

На рис. 4 показана часть цепочки распадов радиоактивного ряда ($A = 4n + 2$), начиная от ^{226}Ra и кончая стабильным ядром ^{206}Pb . На рисунке приведены энергии α -распадов Q_α , периоды полураспада $T_{1/2}$ и вероятности основных мод распада.

6. Закон радиоактивного распада

Способность ядер самопроизвольно распадаться, испуская частицы, называется радиоактивностью. Радиоактивный распад — статистический процесс. Конкретное радиоактивное ядро может распасться в любой момент, и закономерности процесса наблюдаются только в среднем в случае распада достаточно большого количества ядер.

Если в образце в момент времени t имеется $N(t)$ радиоактивных ядер, то количество ядер dN , распавшихся за время dt пропорционально $N(t)$.

$$dN = -\lambda N(t)dt. \quad (16)$$

Интегрируя (16), получим закон радиоактивного распада

$$N(t) = N_0 e^{-\lambda t}, \quad (17)$$

где N_0 — количество радиоактивных ядер в момент времени $t = 0$.

Постоянная распада λ — вероятность распада ядра в единицу времени.

Период полураспада $T_{1/2}$ — время, в течение которого первоначальное количество радиоактивных ядер уменьшится в два раза.

$$T_{1/2} = \frac{\ln 2}{\lambda} = \frac{0.693}{\lambda}. \quad (18)$$

Среднее время жизни τ

$$\tau = \frac{\int_0^\infty t \left| \frac{dN}{dt} \right| dt}{\int_0^\infty \left| \frac{dN}{dt} \right| dt} = \frac{1}{\lambda}. \quad (19)$$

Активность A образца — среднее количество ядер образца, распадающихся в единицу времени

$$A(t) = \lambda N(t). \quad (20)$$

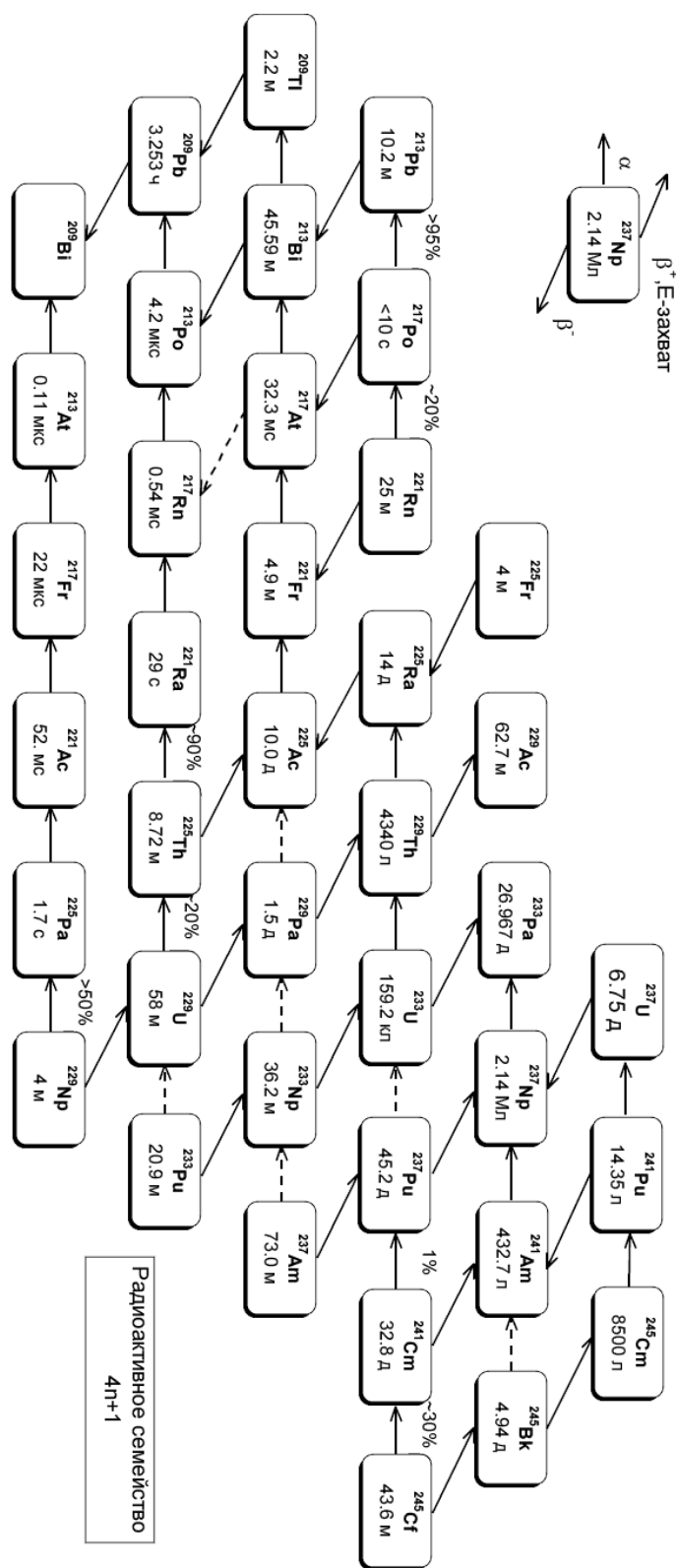


Рис. 8: Радиоактивное семейство ($A = 4n + 1$). Если доля распада по данному каналу меньше 1%, то он обозначен штриховой линией. Если доля альфа-распада больше 1% и меньше 99%, то она указана над соответствующей линией.

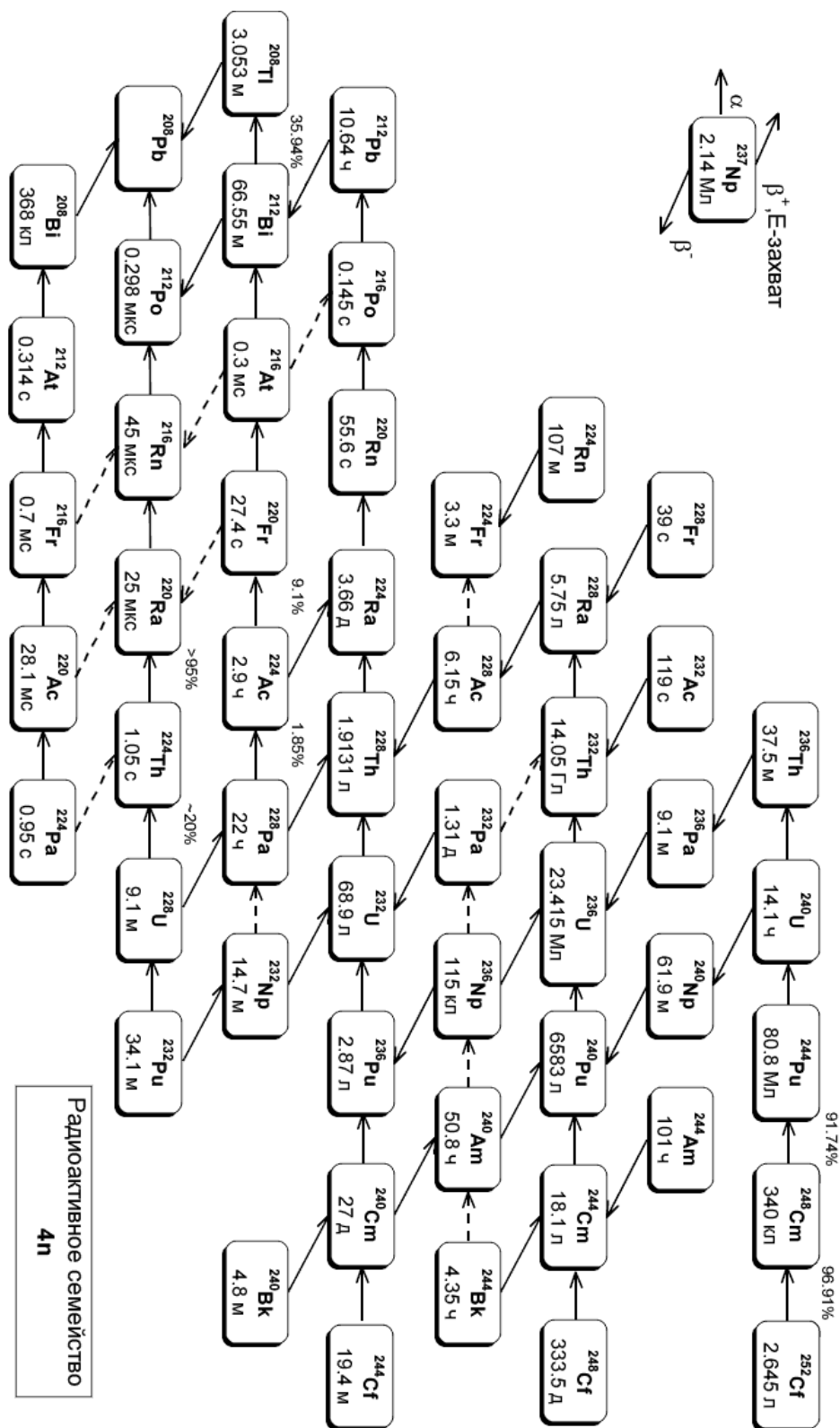


Рис. 9: Радиоактивное семейство ($A = 4n$). Если доля распада по данному каналу меньше 1%, то он обозначен штриховой линией. Если доля альфа-распада больше 1% и меньше 99%, то она указана над соответствующей линией.

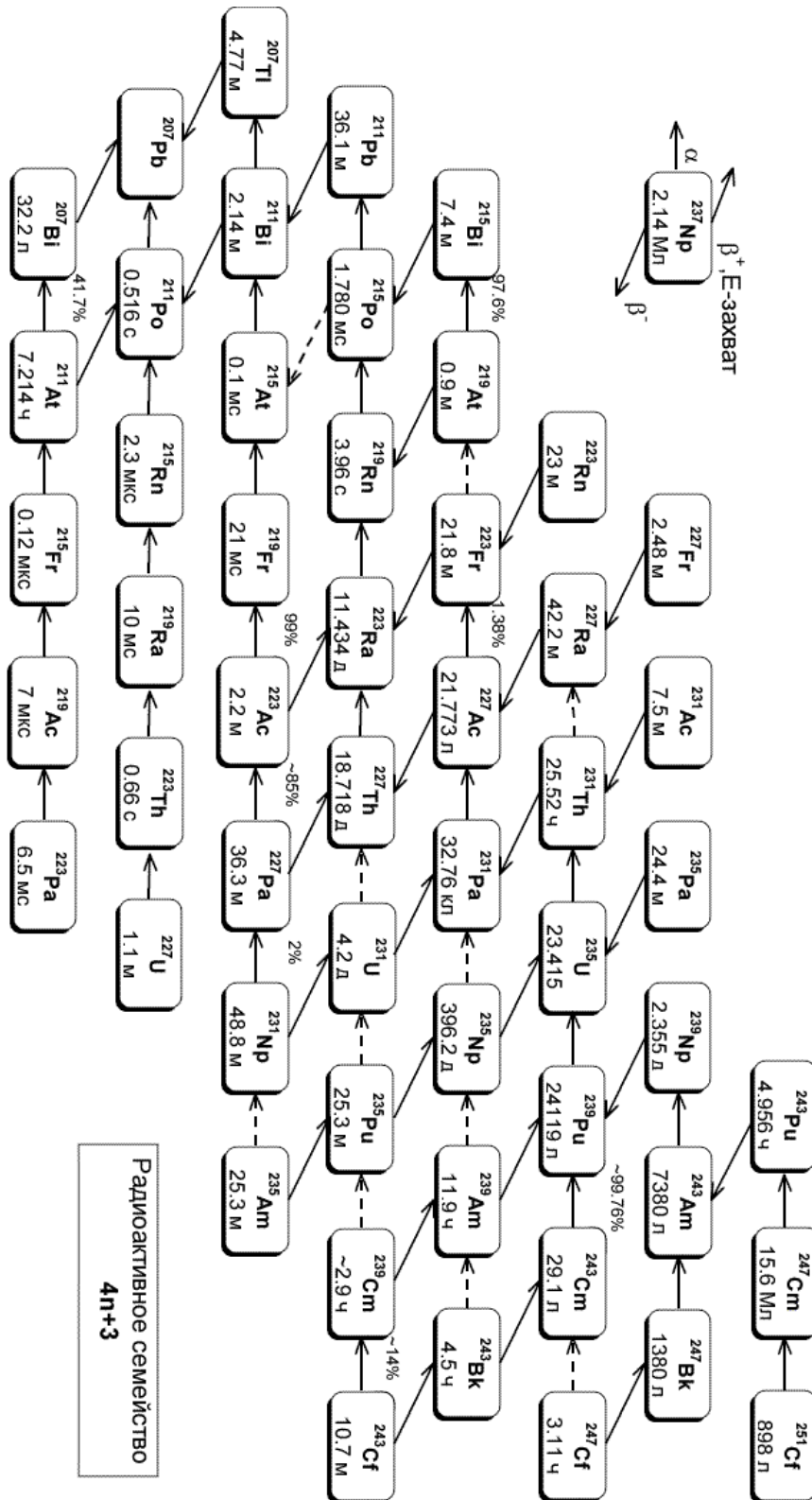


Рис. 10: Радиоактивное семейство ($A = 4n + 3$). Если доля распада по данному каналу меньше 1%, то он обозначен штриховой линией. Если доля альфа-распада больше 1% и меньше 99%, то она указана над соответствующей линией.

Измеряя активность, можно определить постоянную распада λ . Для изотопов с малыми постоянными распада и соответственно большими периодами полураспада используется соотношение (20). В этом случае количество ядер N во время измерения практически не изменяется и может быть определено методами масс-спектрометрии. Для изотопов с малыми периодами полураспада используется соотношение (17).

Распад исходного ядра 1 в ядро 2 с последующим его распадом в ядро 3 описывается системой дифференциальных уравнений

$$\begin{aligned}\frac{dN_1(t)}{dt} &= -\lambda_1 N_1(t), \\ \frac{dN_2(t)}{dt} &= -\lambda_2 N_2(t) + \lambda_1 N_1(t),\end{aligned}\tag{21}$$

где $N_1(t)$ и $N_2(t)$ — количества ядер, а λ_1 и λ_2 — постоянные распада ядер 1 и 2 соответственно. Решением системы (21) с начальными условиями $N_1(0) = N_{10}$, $N_2(0) = 0$ будет

$$\begin{aligned}N_1(t) &= N_{10}e^{-\lambda_1 t}, \\ N_2(t) &= \frac{N_{10}\lambda_1}{\lambda_2 - \lambda_1}(e^{-\lambda_1 t} - e^{-\lambda_2 t}).\end{aligned}\tag{22}$$

Если $\lambda_2 \gg \lambda_1$ ($T_{1/2}^{(1)} \gg T_{1/2}^{(2)}$), то в начальный период времени $e^{-\lambda_1 t} \cong 1$, то активности $A_1(t)$ и $A_2(t)$ первого и второго изотопов описываются соотношениями

$$\begin{aligned}A_1(t) &= N_{10}\lambda_1, \\ A_2(t) &= N_{10}\lambda_1(1 - e^{-\lambda_2 t}),\end{aligned}\tag{23}$$

т.е. активность второго изотопа будет стремиться к активности первого и по прошествии времени $t > 5T_{1/2}^{(2)}$ практически сравняется с ней. В дальнейшем активности как первого, так и второго изотопов будут меняться во времени одинаково.

$$A_1(t) = N_{10}(t)\lambda_1 e^{-\lambda_1 t} = N_1(t)\lambda_1 = A_2(t) = N_2(t)\lambda_2.\tag{24}$$

То есть устанавливается так называемое вековое равновесие, при котором число ядер изотопов в цепочке последовательных распадов связано с постоянными распада (периодами полураспада) простым соотношением

$$\frac{N_1}{N_2} = \frac{\lambda_2}{\lambda_1} = \frac{T_{1/2}^{(1)}}{T_{1/2}^{(2)}}.\tag{25}$$

Можно обобщить этот результат для большего числа последовательных распадов, когда $T_{1/2}^{(1)} \gg T_{1/2}^{(2)}$.

$$N_1 : N_2 : N_3 : \dots = T_{1/2}^{(1)} : T_{1/2}^{(2)} : T_{1/2}^{(3)} : \dots\tag{26}$$

Поэтому в естественном состоянии все изотопы, генетически связанные в радиоактивных рядах, обычно находятся в определенных количественных соотношениях, зависящих от их периодов полураспада.

7. Взаимодействие α -частиц с веществом

При прохождении через вещество тяжелая заряженная частица теряет кинетическую энергию на ионизацию и возбуждение атомов вещества. Эти потери и определяют пробег частицы. Вероятность ионизации атомов среды при энергиях в несколько МэВ примерно в 10^3 раз больше вероятности ядерного взаимодействия. Величина ионизационных потерь, обусловленных кулоновским взаимодействием пролетающей частицы заряда z с электронами вещества, определяется главным образом ее зарядом, скоростью v и плотностью электронов в веществе n_e . В нерелятивистском случае удельные ионизационные потери тяжелой заряженной частицы массы $M \gg m_e$, (m_e — масса электрона), определяются зависимостью

$$\left(-\frac{dE}{dx}\right)_{\text{ион}} \propto \frac{z^2 n_e}{v^2}. \quad (27)$$

Поэтому с уменьшением скорости удельные потери заряженной частицы в веществе возрастают.

В одном акте ионизации в воздухе α -частица теряет около 35 эВ. Т. е. если начальная кинетическая энергия α -частицы равна 4 МэВ, то она полностью затормозится в результате $4 \cdot 10^6 / 35 \cong 10^5$ актов ионизации.

Взаимодействие α -частиц с ядрами вещества в основном сводится к кулоновскому рассеянию на малые углы. Таким образом, при движении в среде заряженные частицы с указанной энергией будут постепенно тормозиться на длине пробега R . Траектория движения тяжелой заряженной частицы в среде правило прямолинейна, а пробег определяется интегралом

$$R = \int \frac{dE}{(dE/dx)_{\text{ион}}}. \quad (28)$$

Пробег R измеряется в сантиметрах или в массовой толщине ρ ($\text{г}/\text{см}^2$).

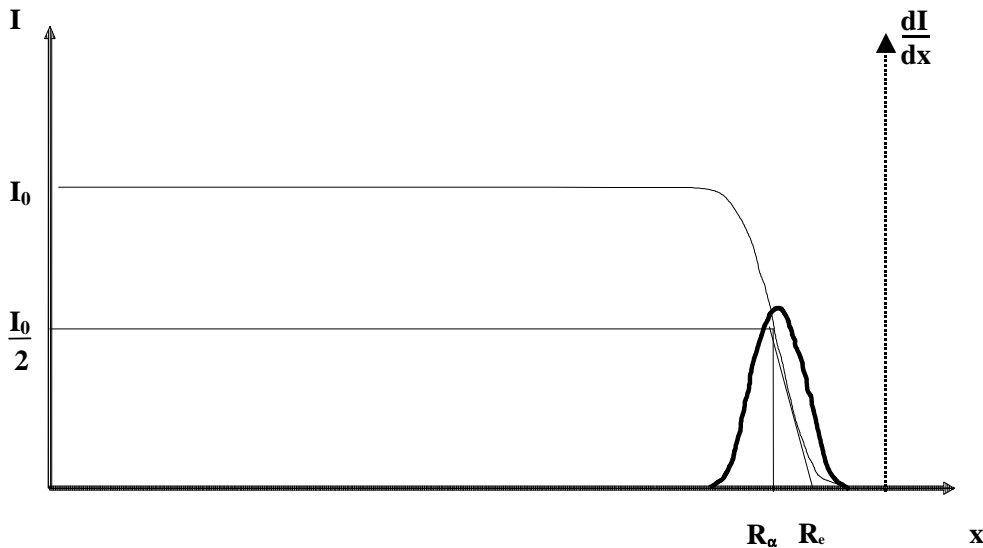


Рис. 12: Зависимость интенсивности потока альфа-частиц в среде расстояния между источником и детектором.

Средний пробег R_α определяется как толщина слоя вещества, при прохождении которого поглощается половина частиц (рис. 12). Иногда также используется понятие экстраполированного пробега R_e . Он определяется с помощью экстраполяции по касательной к кривой пробега из точки, соответствующей поглощению половины частиц. Как видно из рис. 12, пробеги имеют разброс значений пробега (страгглинг), описываемый функцией Гаусса. Он обусловлен в частности статистическими флуктуациями ионизационных потерь. Действительно, если среднее число ионов, образуемое α -частицей на длине ее пробега, равно N , то среднеквадратичное отклонение от этого числа, будет \sqrt{N} . Кроме того, при прохождении через вещество α -частица может испытать перезарядку, превращаясь в однозарядный ион гелия ($^4\text{He}^+$) или в атом гелия (^4He). Разный заряд частицы на всем пути вызывает дополнительные флуктуации в ионизации и, следовательно, в пробеге.

Средний пробег в воздухе при комнатной температуре и нормальном давлении для α -частиц с энергией 2–10 МэВ связан с энергией эмпирической формулой

$$R_\alpha \text{ (см)} = 0.32E_\alpha^{3/2} \text{ (МэВ)}. \quad (29)$$

Удельные ионизационные потери энергии в веществе со сложным химическим составом можно рассчитать по формуле

$$\frac{dE}{d\rho} = \frac{1}{M} \sum_i N_i A_i \left(\frac{dE}{d\rho} \right)_i \left(\frac{\text{МэВ}}{\text{мг/см}^2} \right), \quad (30)$$

где M — молекулярный вес соединения, N_i — количество атомов сорта i с атомным весом A_i в молекуле, $(dE/d\rho)_i$ — удельные потери для данного простого вещества.

8. Полупроводниковые детекторы

Полупроводниковые детекторы широко применяются для детектирования и спектрометрии заряженных частиц и γ -квантов, благодаря высокому разрешению по энергии, малому времени нарастания сигнала и малым размерам. Полупроводниковые детекторы обычно изготавливают из кремния или германия. В полупроводниковом детекторе (рис. 13) создается обедненная (чувствительная) область, в которой отсутствуют свободные носители заряда. Попадая в обедненную область, ионизирующая частица создает значительное число пар носителей заряда, образующих тонкий цилиндр плазмы электронов и дырок вдоль трека. Можно сказать, что полупроводниковый детектор представляет собой твердотельную (кристаллическую) ионизационную камеру.

На рождение одной такой пары в кремнии тратится в среднем энергия 3.6 эВ независимо от энергии, массы и удельных потерь первичной частицы. Для сравнения укажем, что энергия образования одной пары ионов в газовых ионизационных камерах равна примерно 35 эВ, а в сцинтилляционном детекторе на образование одного фотоэлектрона необходимо затратить около 350 эВ. Поскольку статистическая точность измерения энергии определяется числом образованных носителей заряда N (она равна $N^{-1/2}$), то разрешение по энергии полупроводниковых детекторов будет значительно выше, чем других. Входное окно детектора обычно делается очень тонким (20–100 мкг/см²), и падающие частицы поэтому теряют в нем пренебрежимо малую долю энергии.

Образованные ионизирующей частицей в обедненной области свободные носители заряда будут двигаться в приложенном электрическом поле, собираясь на электродах

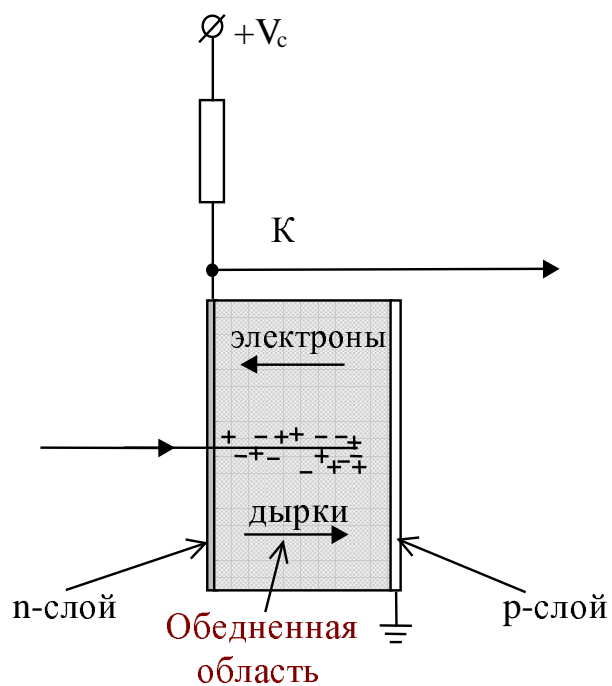


Рис. 13: Полупроводниковый детектор.

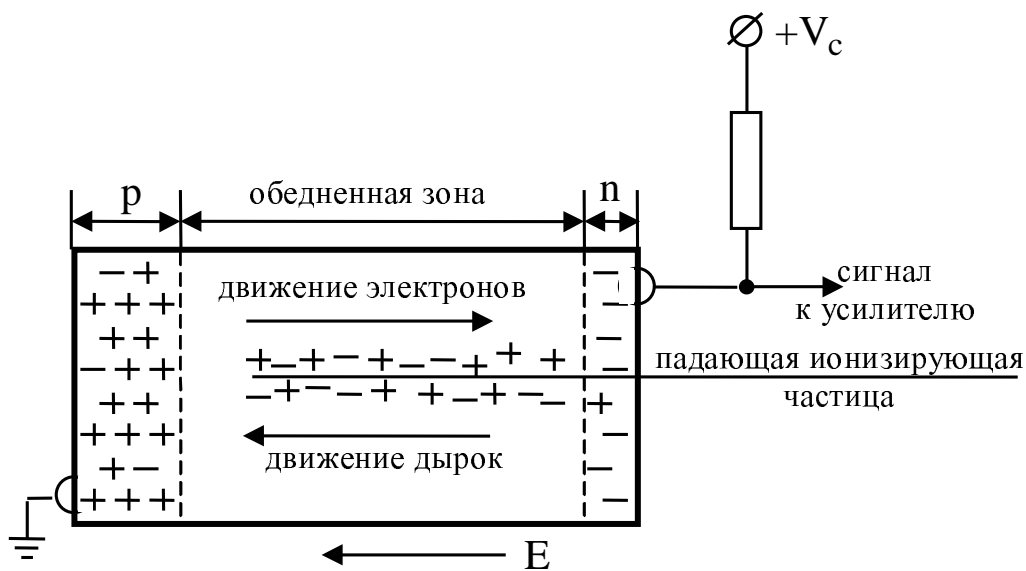


Рис. 14: Схема включения полупроводникового детектора. Толщина обедненной области у кремниевых детекторов от 10 мкм до примерно 5 мм, обратное напряжение смещения V обычно от 10 до 1000 В.

(рис. 14). Количество электронно-дырочных пар пропорционально потерям энергии частицы. Для измерения энергии частицы, необходимо, чтобы она потеряла всю свою энергию и остановилась в чувствительной области. Заметим, что при одновременном движении электрона и дырки полный переносимый заряд равен одному электронному заряду, но не двум!

Собранные заряды образуют токовый импульс, интеграл которого несет информацию об энергии, которую частица потеряла в чувствительной области⁵. Токовый импульс детектора поступает в зарядочувствительный предусилитель. В зарядочувствительном предусилителе токовый импульс преобразуется в импульс напряжения, амплитуда которого пропорциональна энергии частицы.

9. Контрольные вопросы

1. Оцените характеристики распределения α -частиц по энергии после вылета их из ядра для одного из изотопов, содержащегося в ваших источниках.
2. Как будет изменяться энергетическое распределение α -частиц при их движении от радиоактивного источника к детектору?
3. Как будет меняться энергетический спектр α -частиц при удалении детектора от источника?
4. Изменится ли пробег α -частиц, если температура в помещении понизится?
5. Как будет меняться осциллограмма импульсов с усилителя при удалении источника от детектора?
6. Что будет, если в установке создать вакуум?
7. От каких факторов зависит ширина пика в спектре α -частиц?
8. Какие можно предложить методы привязки номера канала к энергии α -источника?
9. Влияет ли разрешение установки на точность определения энергии?
10. От чего зависит точность привязки номера канала к энергии?
11. Почему в первом упражнении можно пренебречь влиянием слоя воздуха между источником и детектором?
12. Должна ли полученная в первом упражнении зависимость энергии α -частиц от номера канала быть линейной, если линейны характеристики электронной системы регистрации?
13. Почему, для того, чтобы повысить вероятность ядерных взаимодействий, нейтроны нужно замедлять, а α -частицы ускорять?

⁵Тяжелые частицы, например осколки деления, создают на своем пути плотное плазменное облако, внутрь которого электрическое поле не может проникнуть, пока его плотность не уменьшится. За это время часть электронов и дырок успевает рекомбинировать. Таким образом, собранный заряд уменьшается.